









# SIMULAÇÃO DE UM SENSOR DE PRESSÃO MICROELETROMECÂNICO

Hebert Dan Shingaki Yabiku <sup>1</sup>; Marcelo Bariatto Andrade Fontes <sup>2</sup>

Aluno da FATEC-SP; e-mail: hdanyabiku@gmail.com <sup>1</sup> Professor da FATEC-SP; e-mail: bariatto@fatecsp.br <sup>2</sup>

Área do Conhecimento: Microeletrônica

Palavras-chave: sensor de pressão, MEMS, microfabricação

### INTRODUÇÃO

A tecnologia *MEMS* (Sistemas Microeletromecânicos) consiste na fabricação de sensores, atua- dores e transdutores na escala micrométrica. Nos sensores essa tecnologia possibilita medir grandezas físicas com um baixo tempo de resposta, alta sensibilidade e baixo custo de fabricação [RAMOS, 2009]. Um exemplo de aplicação é o acelerômetro utilizado em *air-bags*, que detecta a aceleração ou a frenagem abrupta do automóvel e envia um sinal elétrico para acionar os *air-bags*. O microssensor de pressão é aplicado amplamente em automóveis, aplicações bio- médicas e eletrodomésticos. Sua aplicação varia de calibrar um pneu de carro até medir a pressão sanguínea de pacientes. O microssensor de pressão funciona baseado no efeito piezoresisti- vo do silício monocristalino. Esse efeito ocorre quando o material sofre um estresse mecânico e varia a sua resistência elétrica. Para haver esse estresse mecânico o silício precisa se-deformar, por isso é necessário que haja um diafragma [MADOU, 2011]. Para otimizar o microssensor ele foi circuitado em uma ponte de *wheatstone*. O material piezoresistivo é o silício monocristalino dopado tipo n e o restante do microssensor é de silício monocristalino dopado tipo p.

#### **OBJETIVOS**

O objetivo do trabalho é simular um microssensor de pressão utilizando o *software* COMSOL® versão 5.2. O microssensor simulado é baseado em um Trabalho de Conclusão de Curso -TCC [SANCHES, 2017]., que construiu o microssensor. Com a simulação, propor uma geometria otimizada para o microssensor de pressão.

#### **METODOLOGIA**

Para iniciar a simulação é preciso importar a geometria do microssensor para o software, com as medidas correspondente do dispositivo construído. como mostra a figura 1. Após a geometria estar pronta foi indicado o seu material. Para o circuito com os contatos e os piezoresistores foi escolhido silício tipo n monocristalino. Para a estrutura do dispositivo silício tipo p mono- cristalino. Para a física foi utilizado duas funções uma para definir a base de apoio do microssensor de pressão Fixed constraint e outra simulando a pressão no diafragma do microssensor Boundary load. A alimentação de 5V do circuito foi posicionada no contato superior esquerdo e a referência do circuito no lado oposto, contato inferior direito, também indicada na figura 1, constituindo um circuito em Ponte de Wheatstone. A malha escolhida foi uma predefinida pelo simulador, calibrada para dispositivos semicondutores, já com os parâmetros prontos. A simu- lação realizada foi o *Parametric Sweep*, onde o *software* realiza a mesma simulação alterando uma variável, no caso desse trabalho a pressão aplicada no diafragma experimental de 200mm de espessura. A fim de descobrir outras geometrias otimizadas foram realizadas simulações alterando-a. Neste caso apenas o comprimento do material piezoresistor foi alterado e fixou-se a espessura da membrana em 40mm. Para isso foi utilizado duas variáveis, um simbolizando o comprimento do material piezoresistor R1 e R4, e outro simbolizando o comprimento dos pie-zoresistores R2 e R3. Os resistores R1, R2, R3 e R4 estão localizados na figura 1. A geometria





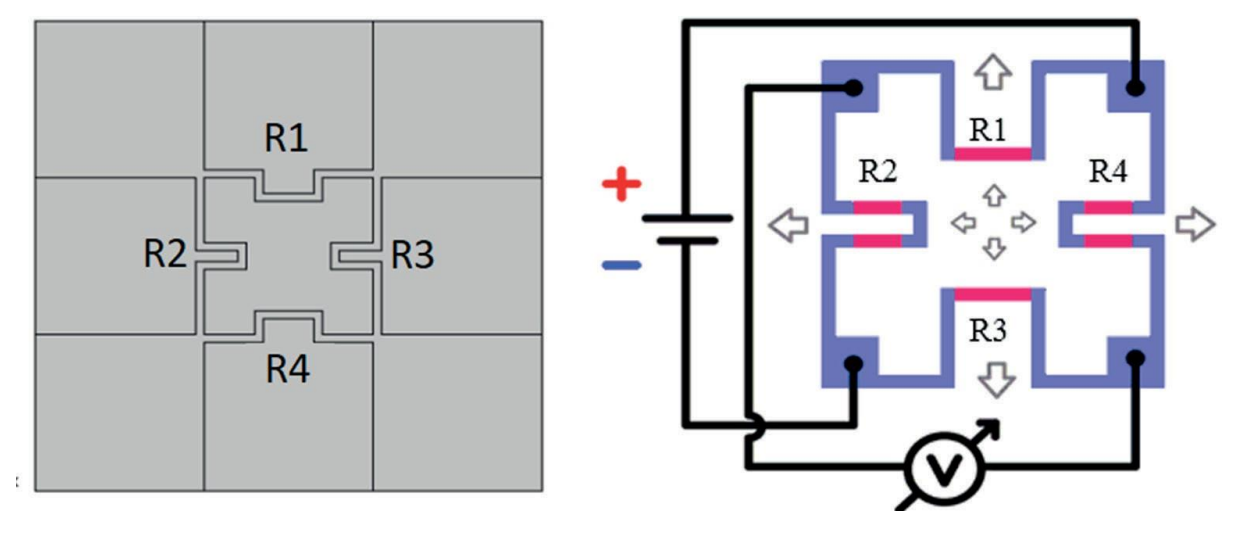






otimizada possui uma distância de 600 µm entre a borda do diafragma e os piezoresistores R1 e R4, já para os resistores R2 e R3 eles se posicionam na borda do diafragma.

Figura 1 - Geometria do microssensor no software e conexões da medida elétrica



Fonte: O próprio autor e adaptado de [Sanches, 2017].

#### RESULTADOS E DISCUSSÃO

O gráfico 1 apresenta a comparação entre diferenças de potencial experimentais e simuladas, em função da pressão aplicada em relação à pressão atmosférica. Nota-se uma resposta linear, cujas inclinações foram semelhantes nos dois casos, com sensibilidade de 10mV/Pa. Observa-se também uma diferença de 60 mV entre seus valores. Uma possível explicação para esta diferença está no fato dos piezoresistores serem obtidos pelo processo de difusão, ocasionando em dimensões diferentes da definida na máscara fotolitográfica.

341,4 y = -0.01x + 321.16 Experimental 321 381,8  $R^2 = 1.00$  Simulado Tensão experimental (mV) 320,8 381,6 320.6 381,4 320,4 381,2 320.2 381 320 380,8 319.8 380,6 319.6 380,4 =-0.01x + 381.74319,4  $R^2 = 1.00$ 380,2 319,2 380 319 0 20 40 60 80 100 120 140 160 180 Fonte: O próprio autor

Gráfico 1 - Resultado primeira simulação

Foram necessárias diversas simulações para otimizar a geometria do microssensor de pressão. O gráfico 2 compara a geometria que obteve a melhor sensibilidade com a geometria 1, fabricada anteriormente. Conforme citado anteriormente a geometria otimizada possui uma distância











de 600 µm entre a borda do diafragma e os piezoresistores R1 e R4, já para os resistores R2 e R3 eles se posicionam na borda do diafragma.

Comparação entre a geometria otimizada e a geometria 1 450 Geometria 1 400 Geometria otim izada =-1,0839x + 408,66[husão [mV] 350  $R^2 = 1$ 300 y = -0.5381x + 321.85250  $R^2 = 1$ 200 100 0 20 40 60 80 180 120 140 160 Pressão [KPa]

Gráfico 2 - Comparação entre as geometrias

Fonte: O próprio autor

#### **CONCLUSÕES**

O trabalho apresentou a simulação do microssensor de pressão MEMS, como também a comparação com o experimental, onde os dados foram coerentes. Graças a simulação foi possível descobrir uma nova geometria para o microssensor de pressão, com o dobro da sensibilidade da antiga. Com os dados obtidos confirmou a veracidade da simulação e uma geometria otimizada, que poderá servir como referência para futuros trabalhos de construção do microssensor de pressão.

## REFERÊNCIAS

MADOU, M.; Fundamentals of Microfabrication and Nanotechnology, Third Edition, Volume One, Two and Three, CRC Press, 2011.

RAMOS JR, D.;**O que são Mems?.** Disponivel em: https://www.tecmundo.com.br/nanotecnologia/3254-o-que-sao-mems-.htm, 17/12/2009. Acesso em: 16/09/2019.

SANCHES. Kaique Figueiredo. **Projeto e construção de microssensor de pressão com tecnologia MEMS para fins didáticos**. Páginas: 93. Microeletrônica — Fatec São Paulo. São Paulo. 2017.